



## بررسی عملکرد انتقال جرم ستون ضربه‌ای افقی در استخراج اورانیم از محلول فروشوبی سولفات‌های بندرعباس توسط آلامین ۳۳۶ با استفاده از مدل پراکندگی محوری

فرشته خان‌رمکی<sup>۱,\*۱</sup>، رضوان ترکمان<sup>۱</sup>، امیرسعید شیرانی<sup>۲</sup>، سید جابر صدری<sup>۱</sup>

۱. پژوهشکده چرخه سوخت هسته‌ای، پژوهشگاه علوم و فنون هسته‌ای، سازمان انرژی اتمی ایران، صندوق پستی: ۱۱۳۶۵-۸۴۸۶، تهران - ایران

۲. دانشکده مهندسی هسته‌ای، دانشگاه شهید بهشتی، کدپستی: ۱۹۸۳۹۶۹۴۱۱، تهران - ایران

\*Email: fkhanramaki@aeoi.org.ir

### مقاله‌ی پژوهشی

تاریخ دریافت مقاله: ۹۸/۱/۱۶ تاریخ پذیرش مقاله: ۹۸/۲/۱۵

### چکیده

در این پژوهش، عملکرد انتقال جرم ستون ضربه‌ای افقی نوع سینی‌دار در استخراج اورانیم از محلول فروشوبی سولفات‌های بندرعباس توسط آلامین ۳۳۶ با استفاده از مدل پراکندگی محوری مورد بررسی قرار گرفت. فاز آلی حاوی ۶٪ حجمی استخراج‌کننده آلامین ۳۳۶، ۵٪ حجمی اصلاح‌کننده ایزودکانول و کروزن به عنوان رقیق‌کننده بود. محلول فروشوبی بندرعباس حاوی سولفات و اورانیم با غلظت‌های ۰.۲۲ M و ۲۵۰ ppm به عنوان فاز آبی استفاده شد. از مدل اختلاط محوری به منظور تعیین پارامترهای انتقال جرم و مدل‌سازی این سیستم استفاده شد. هم‌چنین اثر پارامترهای عملیاتی مؤثر ستون مانند شدت ضربه، دبی حجمی فازها بر پارامترهای انتقال جرم مانند ضرایب کلی حجمی انتقال جرم فاز پیوسته (K<sub>oca</sub>) و ضرایب پراکندگی محوری فاز پیوسته و پراکندگی (E<sub>c</sub> و E<sub>d</sub>) نیز مورد بررسی قرار گرفتند. نتایج نشان داد که پارامترهای انتقال جرم ستون شدیداً وابسته به شدت ضربه و میزان آشفتگی سیستم می‌باشند. هم‌چنین عملکرد انتقال جرم این ستون برای استخراج اورانیم از محلول فروشوبی سولفات‌های بالا می‌باشد. علاوه بر این روابط تجربی جدیدی براساس پارامترهای عملیاتی و مشخصات فیزیکی سیستم به روش آنالیز ابعادی به منظور پیش‌بینی پارامترهای انتقال جرم پیشنهاد شدند؛ این روابط با دقت بسیار بالایی مقادیر تجربی را در این سیستم پیش‌بینی می‌کنند.

**کلیدواژه‌ها:** ستون ضربه‌ای افقی، آلامین ۳۳۶، محلول فروشوبی بندرعباس، انتقال جرم، مدل‌سازی

## Evaluation of mass transfer performance of uranium extraction from sulfate medium of Bandar Abbas with Alamine 336 in horizontal pulsed column by using axial dispersion model

F. Khanramaki<sup>\*1,2</sup>, R. Torkaman<sup>1</sup>, A.S. Shirani<sup>2</sup>, J. Safdari<sup>1</sup>

1. Nuclear Fuel Cycle Research School, Nuclear Science and Technology Research Institute, AEOI, P.O.Box: 11365-8486, Tehran - Iran

2. Nuclear Engineering Faculty, Shahid Beheshti University, Postalcode: 1983969411, Tehran – Iran

### Research Article

Received 5.4.2019, Accepted 5.5.2019

### Abstract

In this study, the mass transfer performance of the Horizontal pulsed sieve plate column for the extraction of uranium from Bandar Abbas sulfate leach solution with Alamine 336 was investigated using a dispersion model. The organic phase contained 6% (v/v) Alamine 336 as extractant and 5% (v/v) isodecanol as a modifier in kerosene as diluent. The sulfate solution of Bandar Abbas containing 0.22 M sulfate and 250 ppm Uranium was used as the aqueous phase. The axial dispersion model was used to determine the mass transfer parameters and modeling of this system. Also, the effect of operating parameters such as pulsation intensity, the rate of phases flow on the volumetric overall mass transfer parameters was investigated; namely total volumetric coefficients of continuous phase mass transfer (K<sub>oca</sub>) and axial scattering coefficients of continuous and scattered phase (E<sub>c</sub> and E<sub>d</sub>). The obtained results showed that the mass transfer parameters are strongly dependent on the pulse intensity and turbulence degree of the system. In addition, the mass transfer performance of this column is high for the uranium extraction from sulfate leach liquors. Moreover, the practical and novel correlations have been determined for prognostication of mass transfer parameters which are closely matched with the experimental results in the horizontal pulsed column.

**Keywords:** Horizontal pulsed column, Alamine 336, Sulfate leach liquor of Bandar Abbas, Mass transfer, Modeling



در طراحی استخراج کننده‌های مایع- مایع، انتقال جرم و هیدرودینامیک نقشی تعیین کننده در طراحی ستون‌های استخراج دارند و پیش از ساختن هر ستون باید پارامترهای آن‌ها از قبیل ضریب انتقال جرم، ضریب پراکنده‌گی محوری فازها، موجودی فاز پراکنده و اندازه متوسط قطرات فاز پراکنده تا حدودی مشخص باشد. بنابراین روابط تجربی جدید برای پیش‌بینی پارامترهای موردنظر در هر شرایط کاری برای طراحی ستون‌های استخراج در مقیاس صنعتی ضروری است.

پارامترهای هیدرودینامیکی مانند اندازه متوسط قطرات، موجودی فاز پراکنده و سرعت لغزشی با استفاده از نمونه‌گیری مستقیم و تأثیر پارامترهای عملیاتی ستون در هر آزمایش محاسبه می‌شوند. اما برای تعیین پارامترهای انتقال جرم مانند ضریب انتقال جرم و ضرایب پراکنده‌گی محوری فازها لازم است از مدل‌های ریاضی استفاده شود. این مدل‌ها براساس موازنۀ جرم و تکانه، شرایط عملیاتی و مشخصات هر ستون نوشته می‌شوند.

مهم‌ترین فرض‌هایی که در کلیه روش‌های مدل‌سازی در نظر گرفته می‌شوند عبارتند از ثابت بودن دبی حجمی جريان هر دو فاز در طول ستون، عدم تغییر در اندازه متوسط قطرات، موجودی فاز پراکنده و ضریب انتقال جرم در طول ستون، مشخص بودن غلظت جزء موردنظر در ورودی فازها به ستون و خطی بودن منحنی تعادلی غلظت فازها [۱۹-۲۲، ۱۵-۶].

مطالعات در زمینه مدل‌سازی جريان فازها در ستون‌های استخراج نشان داده است که اغلب از مدل پراکنده‌گی محوری استفاده می‌شود. در این زمینه کارواله و همکارانش در بررسی استخراج مس از فاز آبی به سبیله حلal آلتی LIX 84-I یا Acorga M۵۶۴۰ از مدل پراکنده‌گی محوری استفاده کردند. بونام و همکارانش نیز این مدل را در استخراج کروم با Aliquat ۳۲۶ به کار برندند. اگرچه این مدل رفتار واقعی هیدرودینامیکی ستون را توصیف نمی‌کند، اما یک روش اجرایی در به دست آوردن نتایج انتقال جرم با صحت مناسب است [۱۶، ۲۲، ۲۳]. در ادامه تعدادی از روابط تجربی به منظور مدل‌سازی فازها در ستون‌های استخراج مایع- مایع ضربهای نوع عمودی و افقی به روش پراکنده‌گی محوری در جدول ۱ ارایه شده است. بیش‌تر مطالعات در این زمینه برای ستون‌های پالس افقی مطالعات عمودی انجام شده و در مورد ستون‌های پالس افقی بسیار محدودی انجام پذیرفته است.

در پژوهش حاضر، عملکرد انتقال جرم در ستون ضربهای افقی نوع سینی دار به منظور استخراج اورانیم از محلول فروشوبی سولفات‌های با مدل ریاضی پراکنده‌گی محوری مورد ارزیابی قرار گرفت. در این روش، جريان فازهای پیوسته و پراکنده به صورت متقابل بوده و بررسی در حالت پایا انجام شد. با استفاده از مدل پراکنده‌گی محوری ضرایب کلی حجمی انتقال جرم فاز پیوسته (K<sub>oc,a</sub>) و ضرایب پراکنده‌گی محوری فازها (E<sub>a</sub> و E<sub>d</sub>) از طریق بهینه‌سازی غلظت جزء موردنظر در طول ستون با استفاده از نتایج مدل‌سازی و داده‌های آزمایشگاهی محاسبه شدند. برای بهینه سازی این پارامترها از روش الگوریتم ژنتیک و برای حل معادلات دیفرانسیل حاکم از روش‌های عددی استفاده گردید. همچنین تأثیر پارامترهای عملیاتی بر پارامترهای انتقال جرم بررسی شده

## ۱. مقدمه

استخراج اورانیم از سنگ‌های معدنی، به عنوان سمتی و رادیواکتیویته این فلز در آب‌های سطحی و زیرزمینی، از اهمیت بالایی برخوردار است [۱]. روش‌های مختلفی برای استخراج بازیابی اورانیم از محلول‌های آبی وجود دارد که روش استخراج حالی در مقایسه با سایر روش‌ها بسیار آسان، کم‌هزینه و با احتمال تولید پسماند کم‌تر می‌باشد [۲]. یکی از مهم‌ترین اجزای اصلی در فرایند استخراج با حلal، انتخاب استخراج کننده است. بر اساس مطالعات انجام شده، ترکیبات آمینی، به ویژه آمین‌های نوع سوم، ترکیبات بسیار مناسبی برای استخراج اورانیم از محلول سولفات‌های می‌باشد [۳-۵]. بنابراین می‌توان گفت روش استخراج حالی یکی از روش‌های کاربردی در مقیاس صنعتی و یکی از فنون مهم جداسازی می‌باشد. بنابراین انتخاب دستگاه مناسب برای این منظور از اهمیت خاصی برخوردار است. معیارهای متعددی برای انتخاب یک تاماس‌دهنده باید مدنظر قرار گیرد و البته تمام این ملاحظات نمی‌توانند به طور همزمان تأمین گردد. مهم‌ترین معیارهایی که برای انتخاب تاماس‌دهنده باید در نظر گرفته شوند عبارتند از بحرانیت، ظرفیت، عملکرد، تجزیه واکنش‌گر، نگهداری، حفاظت‌گذاری، کنترل فرایند و هزینه [۶].

استخراج کننده‌های مایع- مایع به دو صورت دیفرانسیلی و مرحله‌ای عمل می‌کنند. تاماس‌دهنده‌های دیفرانسیلی خود به دو نوع جريان همسو و جريان غیرهمسو دسته‌بندی می‌شوند [۷]. ستون‌های ضربهای به عنوان یک تاماس‌دهنده دیفرانسیلی به دلیل داشتن بازدهی بالا، نداشتن قسمت‌های متحرک داخلی، عملکرد کاملاً خودکار، پیوسته بودن فرایند، فضای کم و پایین بودن هزینه نگهداری و عملیات از مهم‌ترین دستگاه‌های مورد استفاده در صنعت می‌باشند. لذا با توجه به مزیت‌های ستون‌های ضربهای، انواع مختلف این ستون‌ها به عنوان اصلی ترین دستگاه استخراج در صنعت خالص‌سازی فلزات شناخته شده‌اند. بنابراین کاربرد آن‌ها در صنعت به صورت روزافزون در حال گسترش می‌باشد [۶، ۸-۱۳]. در ستون‌های ضربهای، انرژی مکانیکی به صورت پالس ورودی به برج تأمین می‌شود. بهبود بازده در ستون به واسطه افزایش در اغتشاش و سطح تاماس، از طریق خرد کردن فاز پراکنده صورت می‌گیرد. ستون‌های ضربهای به دو دسته کلی ستون‌های ضربهای عمودی و ستون‌های ضربهای افقی تقسیم‌بندی می‌شوند. اگرچه ستون‌های ضربهای عمودی بسیاری از معیارهای لازم برای کاربرد صنعتی را برآورده می‌کند، با این حال ساختار افقی ستون‌های ضربهای دارای مزایای مهم و قابل توجهی می‌باشند. با توجه به ساختار افقی این ستون‌ها، جهت نگهداری آن‌ها نیاز به ساختمان‌هایی با سقف‌های بلند در مقایسه با نوع عمودی آن نیست و همین امر منجر به کاهش هزینه‌ها بهویژه هزینه‌های مربوط به حفاظت در برابر پرتوها می‌شود. مزیت دیگر آن سهولت در تعمیر و نگهداری ستون است. مطالعات گوناگون نشان می‌دهد که بازده انتقال جرم ستون‌های ضربهای افقی (HPC) قابل مقایسه با ستون‌های ضربهای عمودی (VPC) می‌باشد [۶، ۹، ۱۲].



ستون به وسیله خط هوای فشرده تأمین می‌شود. نمایی از ستون ضربه‌ای افقی نوع سینی دار همراه با اجزاء جانبی آن در شکل ۱ نمایش داده شده است.

#### ۲.۲ روش انجام آزمایش‌ها

برای بررسی پارامترهای عملیاتی روی بازده استخراج اورانیم و تعیین پارامترهای انتقال جرم، استخراج اورانیم از محلول فروشوبی بندرعباس با آلامین ۳۳۶ انجم شد. فاز آبی محلول فروشوبی بندرعباس با غلظت  $M_{220}$  سولفات و اورانیم با غلظت  $ppm_{250}$  بود و فاز آبی حاوی استخراج‌کننده آلامین ۳۳۶ با غلظت  $\%_{6.6}$  درصد حجمی، اصلاح‌کننده ایزودکانول با غلظت  $\%_{5.5}$  حجمی و کروزن به عنوان رقیق‌کننده بود. مقادیر غلظت‌های انتخاب شده بر مبنای نتایج بهینه به دست آمده از انجام آزمایش‌ها در مقیاس آزمایشگاهی به روش ناپیوسته بودند [۲۴].

است و در نهایت روابط تجربی دقیق و جدیدی برای پیش‌بینی پارامترهای انتقال جرم به منظور استخراج اورانیم از محلول فروشوبی سولفاته در ستون استخراج ضربه‌ای افقی نوع سینی دار پیشنهاد شد.

#### ۲. مطالعات تجربی

##### ۱.۲ مشخصات ستون ضربه‌ای افقی نوع سینی دار

ستون شیشه‌ای با طول  $1.5\text{ m}$  و قطر داخلی  $6.2\text{ cm}$ ، که حاوی ۲۴ جفت سینی سوراخ دار از جنس فولاد ضد زنگ می‌باشد، است. فاصله میان سینی‌ها در هر جفت سینی  $1\text{ cm}$  و فاصله میان خود جفت سینی‌ها  $5\text{ cm}$  است. سینی‌ها به گونه‌ای سوراخ‌کاری شده‌اند که فقط یکی از دو نیمه بالایی یا پایینی سینی سوراخ دارد شیر برقی در مسیر خروج فاز سنگین سطح مشترک دو فاز را کنترل می‌کند. ضربه موردنیاز برای حرکت فاز پراکنده در طول

جدول ۱. نتایج گزارش شده برای مدل‌سازی فازها در ستون‌های استخراج ضربه‌ای به روش پراکندگی محوری

مراجع	رابطه تجربی	نوع ستون
[۱۴]	$k_{oc}\alpha = 50.4 \left( \frac{\alpha f d \rho d}{\mu_d} \right)^{0.4} \left( \frac{U_c}{U_d} \right)^{-0.56} \left( \frac{d}{h} \right)^{-0.62} \left( \frac{u_c}{h} \right)$ $\frac{k_{oc}\alpha d_{tr}}{\rho_c u_{slip}} = 1.9 \times 10^{-1} \left( \frac{\text{Re}^{1.78}}{(1-\varphi)^1} \right) \left( \frac{Af}{U_{slip}} \right)^{0.9} \left( \frac{U_c}{U_d} \right)^{0.56}$	ستون ضربه‌ای سینی دار
[۱۵]	$\frac{E_c}{v_c} = 1.48 \left( \frac{\text{Re}^{0.9}}{(1-\varphi)^{0.5}} \right) \left( \frac{Af}{U_{slip}} \right)^{0.72} \left( \frac{U_c}{U_d} \right)^{0.48}$ $\frac{E_d}{v_d} = 2.15 \left( \frac{\text{Re}}{(1-\varphi)^{0.8}} \right) \left( \frac{Af}{U_{slip}} \right)^{0.58} \left( \frac{U_c}{U_d} \right)^{0.81}$ $E_c = E_d (1 + \frac{V_c}{\gamma(Af)})$	ستون ضربه‌ای پر شده
[۱۶]	$E_d = \frac{d \cdot (Af) h^{0.72}}{\alpha d_{col}^{0.72}} (1 + \frac{V_d}{\gamma(Af) x_d}) x_d$	ستون ضربه‌ای سینی دار
[۱۷]	$E_c = \frac{12 A^{0.72} f^{0.72}}{(u_d + u_c)^{0.72}}$	ستون ضربه‌ای غربالی
[۱۸]	$E_c = \frac{d \cdot \alpha f h^{0.72}}{\alpha D^{0.72}} \left[ 1 + \frac{u_c}{\gamma \alpha f (1-\varphi)} \right] (1-\varphi)$ $E_d = \frac{d \cdot \alpha f h^{0.72}}{\alpha D^{0.72}} \left[ 1 + \frac{u_d}{\gamma \alpha f \varphi} \right] \varphi$	ستون ضربه‌ای صفحه‌ای سوراخ دار
ستون ضربه‌ای افقی		
[۱۹]	$\frac{\mu_c k_{oc} \alpha}{\rho_c (af)^1} = K_1 \exp(K_1  af - af_m ) \left( \frac{\mu_c}{\mu_d} \right)^{0.779} \left( \frac{af \mu_c}{\sigma} \right)^{-0.187} \left( \frac{af}{U_c} \right)^{-0.749} \left( \frac{af}{U_d} \right)^{-0.428} \left( \frac{\Delta \rho}{\rho_c} \right)^{-0.457}$ $\frac{E_c \rho_c \alpha f}{\sigma} = K_2 \exp(K_2  af - af_m ) \left( \frac{\mu_c}{\mu_d} \right)^{0.880} \left( \frac{af \mu_c}{\sigma} \right)^{0.117} \left( \frac{af}{U_c} \right)^{-0.788} \left( \frac{af}{U_d} \right)^{0.765} \left( \frac{\Delta \rho}{\rho_c} \right)^{-0.917}$ $(af)_m = 1.5 \times 10^{-1} \left( \frac{\sigma \alpha f}{\mu_d} \right)^{0.72}$	ستون ضربه‌ای سینی دار
[۲۰]	$\frac{\mu_c k_{oc} \alpha}{\rho_c (af)^1} = 2.3 \times 10^{-5} \left( \frac{af}{U_c} \right)^{-0.588} \left( \frac{af}{U_d} \right)^{-0.594} \left( \frac{\sigma}{af \mu_c} \right)^{0.545}$ $\frac{E_c \rho_c U_c}{\sigma} = 1.562 \times 10^{-1} \left( \frac{af}{U_c} \right)^{-0.577} \left( \frac{af}{U_d} \right)^{-0.69} \left( \frac{\sigma}{af \mu_c} \right)^{-0.192}$ $\frac{E_d \rho_d U_d}{\sigma} = 51.597 \left( \frac{af}{U_c} \right)^{-0.729} \left( \frac{af}{U_d} \right)^{-0.774} \left( \frac{\sigma}{af \mu_c} \right)^{-0.556}$	ستون ضربه‌ای سینی دار



#### ۴.۲ اندازه‌گیری قطر قطرات

برای اندازه‌گیری قطر قطرات در داخل ستون، پس از برقرار شدن حالت پایا، با استفاده از یک دوربین دیجیتال ۱۲/۱ مگاپیکسلی نیکون مدل D5000 عکس‌های متعددی از بخش‌های مختلف ستون گرفته شد. برای مشخص نمودن اندازه قطرات از نرم‌افزار اتوکد استفاده شد. در هر آزمایش حداقل تعداد ۴۰۰ قطره آنالیز گردید. در نهایت قطر متوسط ساتر قطره<sup>۳</sup> از رابطه ۲ محاسبه گردید.

$$d_{\text{av}} = \left( \frac{\sum_{i=1}^n n_i d_i}{\sum_{i=1}^n n_i} \right) \quad (1)$$

#### ۵.۲ اندازه‌گیری موجودی فاز پراکنده

در این پژوهش از روش shut down به منظور اندازه‌گیری موجودی فاز پراکنده استفاده گردید. به این ترتیب که پس از رسیدن ستون به حالت پایا، به طور همزمان ورودی و خروجی فازهای پیوسته و پراکنده قطع گردید و شدت ضربه نیز به آرامی متوقف شد. پس از گذشت زمان کافی برای ثابت شدن شرایط فازها در ستون، طول قوس فاز آلی در ستون (S) با استفاده از متر اندازه‌گیری شد و با به کارگیری رابطه‌های ۳ تا ۵ مطابق شکل ۲، موجودی فاز پراکنده در هر آزمایش محاسبه شد [۲۵].

$$L_i = 2r_i \cos \left[ \frac{1}{2} (\pi - \frac{S}{r_i}) \right] \quad (2)$$

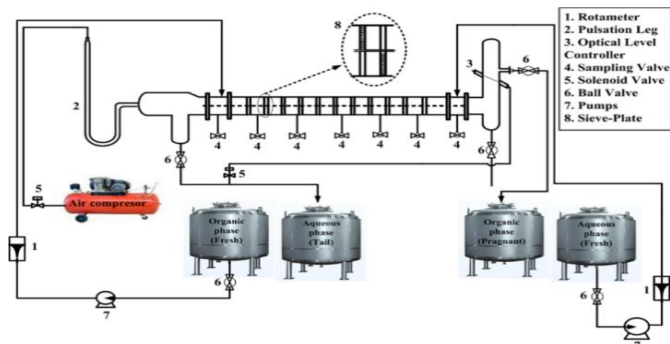
$$A_i = \frac{1}{2} \pi r_i^2 - r_i^2 \cos^{-1} \left( \frac{L_i}{2r_i} \right) - \frac{L_i}{2} (r_i^2 - \frac{L_i^2}{4})^{1/2} \quad (3)$$

$$\varphi = \frac{A_i}{\pi r_i^2} \quad (4)$$

#### ۳. محاسبات ریاضی برای مدل‌سازی جريان فازها

مدل پراکنده‌گی محوری رایج‌ترین شیوه مدل‌سازی برای ستون‌ها با تماس از نوع دیفرانسیلی می‌باشد. در این مدل فرض شده است که تمام عواملی که باعث انحراف از حالت ایده‌آل می‌شوند، به وسیله پارامتر ضریب پراکنده‌گی محوری بیان شود. ضریب پراکنده‌گی فقط در راستای محور ستون بوده و در جهت شعاعی فرض بر این است که جريان یکنواخت است. مقدار این ضریب به کمک بهینه‌سازی داده‌های غلظت در طول ستون استخراج به دست می‌آید [۱۵، ۲۶-۲۸]. بنابراین جهت محاسبه ضرایب انتقال جرم در این ستون، از مدل پراکنده‌گی محوری فازها استفاده گردید. شکل ۳ موازنۀ جرم برای یک ستون استخراج افقی با استفاده از مدل پراکنده‌گی محوری را نشان می‌دهد. در این مدل سه پارامتر ( $E_d$  و  $E_c$  و  $K_{oca}$ ) نیاز به بهینه‌سازی دارند. رابطه‌های ۵ و ۶، معادلات مربوط به مدل فوق، پارامترها و شرایط مرزی را نشان می‌دهند.

#### 3. Sauter Mean Drop Diameter



شکل ۱. نمایی از ستون ضربه‌ای افقی نوع سینی دار و تجهیزات جانبی.

با توجه به این‌که در شرایط عملیاتی همراه با انتقال جرم، خواص فیزیکی سیستم در طول ستون به‌علت تغییر غلظت اورانیم در فازها تغییر می‌کند، از متوسط‌گیری نمونه‌های ابتدا و انتهای ستون برای تعیین خواص فیزیکی استفاده شد. این مقادیر در جدول ۲ گزارش شده است.

#### ۳.۲ روش انجام آزمایش‌ها

قبل از شروع آزمایش‌ها، کالیبراسیون دستگاه‌های اندازه‌گیری انجام شد. سپس با برقرار نمودن جريان فاز پیوسته به درون ستون، ستون از فاز پیوسته تا زیر محل فصل مشترک (پایین سنسور نوری) پر گردید. پس از آن جريان فاز پیوسته قطع شد و جريان فاز پراکنده برقرار گردید و اجازه داده شد تا سطح فاز آلی به‌طور کامل از محل سنسورها عبور نماید.

سپس با روشن نمودن کمپرسور هوای فشرده، جريان هوا به درون سیستم ضربان‌ساز برقرار گردید و پس از آن فرکانس ضربه و دامنه روی مقدار موردنظر در هر آزمایش تنظیم شد. پس از ثابت شدن فصل مشترک دو فاز، به سیستم زمان کافی داده شد (حدود ۱/۵ برابر زمان اقامت فاز سنگین) تا به حالت پایا برسد. پس از رسیدن سیستم به شرایط پایا، پارامترهای زیر مورد اندازه‌گیری قرار گرفتند:

(۱) اندازه متوسط قطرات در طول ستون به روش عکس‌برداری.

(۲) موجودی فاز پراکنده به روش جابه‌جایی سطح مشترک.<sup>۱</sup>

(۳) غلظت در قسمت‌های ورودی، خروجی و در طول ستون به روش نمونه‌برداری و آنالیز با دستگاه طیف‌سنج نشري پلاسمای جفت القائی.<sup>۲</sup>

#### جدول ۲. خواص فیزیکی سیستم به کار رفته در ستون

نوع فاز	چگالی	ویسکوزیته ( $\times 10^{-3}$ N/m)	کشش بین فازی ( $\times 10^{-3}$ kg/m.s)
فاز پیوسته	۰.۸۶۱	۱۰۵۸	
فاز پراکنده	۱.۸۴۱	۸۲۰	

#### 1. Shut Down Method

2. Inductively Coupled Plasma–Atomic Emission Spectrometer (ICP-AES)



$$Z = L \rightarrow \begin{cases} X = X_{out} \\ \frac{dx}{dz} = 0 \\ Y = 0 \\ \frac{dY}{dz} = -P_{ed}Y \end{cases} \quad (14)$$

سپس پارامترهای انتقال جرم با استفاده از داده‌های هیدرودینامیکی، شرایط مرزی مناسب و تغییرات غلظت جزء موردنظر در طول ستون محاسبه گردید. این معادلات با استفاده از روش حل معادلات دیفرانسیل معمولی و استفاده از روش المان محدود در نرم‌افزار MATLAB حل شدند. در ادامه با استفاده از روش آنالیز ابعادی (پی باکینگهام) و نرم‌افزار Eviews ۸ روابط تجربی برای تعیین پارامترهای انتقال جرم بر حسب پارامترهای عملیاتی و خواص فیزیکی سیستم شیمیایی برای استخراج اورانیم از محلول فروشی بندرعباس با استخراج کننده آلامین ۳۳۶ پیشنهاد شدند.

#### ۴. نتایج و بحث

##### ۱.۴ تعیین پروفایل غلظت اورانیم در طول ستون

به منظور تعیین پروفایل غلظت اورانیم در طول ستون، موازنۀ کلی روی ستون نوشته می‌شود و در نهایت روابط زیر به دست می‌آیند:

$$\left( \frac{y_n}{1-y_n} - \frac{y_{in}}{1-y_{in}} \right) = \left[ \frac{Q_{c,out} \rho_{c,out} (1-x_{out})}{Q_{d,in} \rho_{d,in} (1-y_{in})} \right] \left( \frac{x_n}{1-x_n} \times \frac{x_{out}}{1-x_{out}} \right) \quad (15)$$

$$X = \frac{x - x_{in}}{x_{out} - x_{in}} \quad \& \quad Y = \frac{y - y_{in}}{y_{out} - y_{in}} \quad (16)$$

$x_{in}$ : درصد وزنی اورانیم در شیر ورودی فاز پیوسته

$x_{out}$ : درصد وزنی اورانیم در شیر خروجی فاز پیوسته

$x_n$ : درصد وزنی اورانیم در  $n$  امین شیر فاز پیوسته

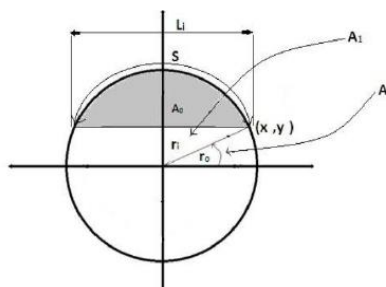
$y_{in}$ : درصد وزنی اورانیم در شیر ورودی فاز پراکنده

$y_{out}$ : درصد وزنی اورانیم در شیر خروجی فاز پراکنده

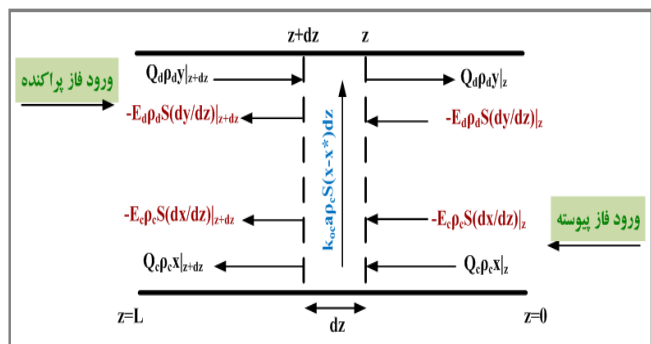
$y_n$ : درصد وزنی اورانیم در  $n$  امین شیر فاز پراکنده

با نمونه‌گیری در طول ستون برای هر آزمایش و آنالیز نمونه، غلظت و درصد وزنی اورانیم در طول ستون در فاز پیوسته تعیین شد. حال با استفاده از معادله فوق درصد وزنی اورانیم در فاز پراکنده در طول ستون محاسبه گردید.

بازده استخراج اورانیم در هر نقطه از ستون براساس درصد وزنی اورانیم موجود در آن نقطه، درصد وزنی اورانیم در خوارک ورودی در هر تست و درصد وزنی تعادلی هر نقطه از ستون (با استفاده از نمودار تعادلی در آزمایش‌های بخش ناپیوسته) با استفاده از رابطه ۱۷ محاسبه شد. در ادامه تغییرات غلظت اورانیم



شکل ۲. نحوه تعیین موجودی فاز پراکنده در ستون‌های ضربه‌ای افقی.



شکل ۳. المان موازنۀ جرمی برای مدل پراکنده‌ی محوری.

$$\frac{E_c}{U_c} \frac{d^r x}{dz^r} - \frac{dx}{dz} - \frac{k_{oc} \alpha}{U_c} (x - x^*) = 0 \quad (5)$$

$$\frac{E_d}{U_d} \frac{d^r y}{dz^r} + \frac{dy}{dz} + \frac{k_{oc} a \rho_c}{\rho_c} (x - x^*) = 0 \quad (6)$$

حال با جای‌گذاری مقادیر بدون بعد غلظت در فاز پیوسته و پراکنده ( $X$  و  $Y$ ) در رابطه‌های ۵ و ۶ خواهیم داشت:

$$\frac{1}{P_{ec}} \frac{d^r x}{dz^r} - \frac{dx}{dz} - NTU_{oc} (X + Y - 1) = 0 \quad (7)$$

$$\frac{1}{P_{ed}} \frac{d^r Y}{dz^r} + \frac{dY}{dz} - \frac{NTU_{oc}}{\Omega} (X + Y - 1) = 0 \quad (8)$$

که در روابط فوق خواهیم داشت:

$$\Omega = \frac{m Q_d \rho_d}{Q_c \rho_c} \quad (10) \quad , \quad NTU_{oc} = \frac{L k_{oc} \alpha}{U_c} \quad (9)$$

$$P_{ed} = \frac{L U_d}{E_d} \quad (12) \quad , \quad P_{ec} = \frac{L U_c}{E_c} \quad (11)$$

شرایط مرزی در مدل پراکنده‌ی محوری برای حل معادلات ۷

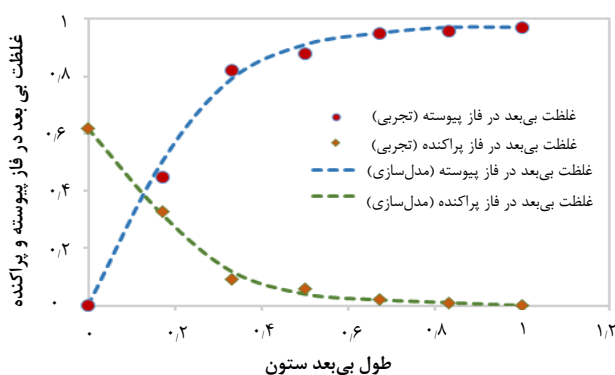
و ۸ به شرح زیر می‌باشند:

$$Z = 0 \rightarrow \begin{cases} X = 0 \\ \frac{dx}{dz} = P_{ec} (1 - X) \\ Y = Y_{out} \\ \frac{dY}{dz} = 0 \end{cases} \quad (13)$$

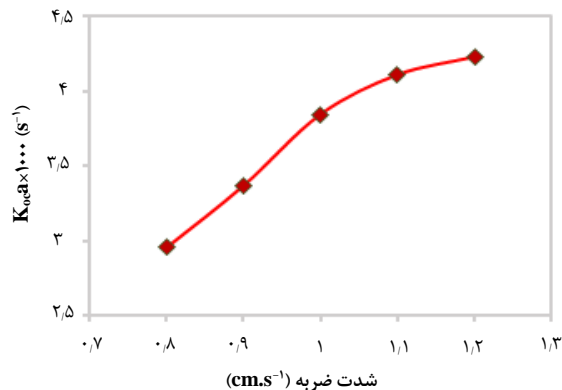


جدول ۳. تغییرات بازده استخراج اورانیم و پروفایل غلظت در طول ستون در یک آزمایش ( $af=1 \text{ cm/s}$ ,  $Qc=Qd=3 \text{ l/h}$ )

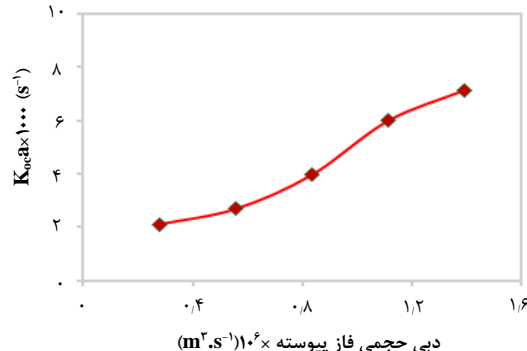
بازده استخراج اورانیم (%)	$Y_{\text{theo.}}$	$X_{\text{theo.}}$	$Y_{\text{exp.}}$	$X_{\text{exp.}}$	طول بی بعد ستون
۱۱,۳۴	۰,۶۲	۰	۰,۶۲	۰	۰
۷۰,۳۴	۰,۳۲	۰,۵	۰,۳۳	۰,۴۵	۰,۱۷
۹۱,۸۵	۰,۱۲	۰,۷۹	۰,۰۹	۰,۸۲	۰,۳۳
۹۴,۰۸	۰,۰۴	۰,۹۱	۰,۰۶	۰,۸۸	۰,۰۵
۹۶,۶۵	۰,۰۲	۰,۹۵	۰,۰۲	۰,۹۵	۰,۰۷
۹۷,۲۳	۰,۰۱	۰,۹۷	۰,۰۱	۰,۹۶	۰,۰۳
۹۷,۵۷	۰	۰,۹۷	۰	۰,۹۷	۱



شکل ۴. پروفایل غلظت بی بعد در طول ستون در فاز پیوسته و پراکنده ( $af=1 \text{ cm/s}$ ,  $Qc=Qd=3 \text{ l/h}$ )



شکل ۵. اثر تغییرات شدت ضربه بر ضربی کلی حجمی انتقال جرم فاز پیوسته برای استخراج اورانیم ( $Qc=Qd=3 \text{ l/h}$ )



شکل ۶. اثر تغییرات دیگر کوتاهتر می‌شود بر ضربی کلی حجمی انتقال جرم فاز پیوسته برای استخراج اورانیم ( $af=1 \text{ cm/s}$ ,  $Qc=Qd=3 \text{ l/h}$ )

در طول ستون و نمودار پروفایل غلظت اورانیم در یک آزمایش در جدول ۳ و شکل ۴ نشان داده شده است.

$$\%E_U = \frac{X_{in} - X_n}{X_{in} - X^*} \times 100 \quad (17)$$

#### ۲.۰۴ بررسی ضربی کلی حجمی انتقال جرم فاز پیوسته

##### ۱۰.۲۴ بررسی تأثیر شدت ضربه

اثر شدت ضربه بر ضربی کلی حجمی انتقال جرم فاز پیوسته در شکل ۵ نشان داده شده است. همان‌طور که مشاهده می‌شود، عملکرد انتقال جرم ستون با افزایش شدت ضربه افزایش می‌یابد. با افزایش شدت ضربه فرکانس برخورد قطرات با صفحات داخلی پراکنده کاهش می‌یابد. نتایج نشان می‌دهد که کاهش قطر میانگین قطره بر مساحت سطح مشترک تأثیر بیشتری نسبت به کاهش موجودی فاز پراکنده دارد؛ این امر منجر به افزایش مساحت سطح مشترک دو فاز گردید و در نهایت عملکرد انتقال جرم افزایش یافت.

#### ۲.۰۴ بررسی تأثیر دبی فاز پیوسته و پراکنده

تأثیر تغییرات دبی حجمی فاز پیوسته در شدت ضربه و دبی حجمی فاز پراکنده ثابت بر روی ضربی کلی حجمی انتقال جرم فاز پیوسته در شکل ۶ نشان داده شده است. با افزایش دبی فاز پیوسته، نیروی دراگ بین قطرات و فاز پیوسته افزایش یافته و سرعت لغزشی بین فازها کاهش می‌یابد؛ در نتیجه مقدار موجودی فاز پراکنده افزایش می‌یابد. همچنین با افزایش دبی فاز پیوسته، افزایش در قطر میانگین قطرات مشاهده می‌شود. مطابق رابطه  $\alpha = \frac{6\varphi}{d_{\varphi}}$ ، تأثیر افزایش موجودی فاز پراکنده بر افزایش مساحت

سطح مشترک دو فاز بزرگ‌تر از افزایش قطر میانگین قطره می‌باشد، در نتیجه عملکرد انتقال جرم افزایش می‌یابد. بنابراین می‌توان گفت که با افزایش دبی حجمی فاز پیوسته، ضربی کلی حجمی انتقال جرم فاز پیوسته افزایش می‌یابد. علاوه براین، این نکته قابل توجه است که با افزایش دبی حجمی فاز پیوسته، سرعت حرکت فاز پیوسته افزایش یافته و زمان تماس فازها کوتاه‌تر می‌شود؛ در نتیجه ضربی کلی حجمی انتقال جرم فاز پیوسته به یک مقدار بیشینه می‌رسد [۲۹]. زیرا با افزایش دبی حجمی فاز پیوسته میزان آشفتگی در سیستم نیز افزایش می‌یابد که این امر منجر به افزایش پراکنده محوری فاز پیوسته و کاهش بیشینه توان عملیاتی سیستم می‌شود. بنابراین با افزایش دبی حجمی فاز پیوسته، ضربی کلی حجمی انتقال جرم کاهش خواهد یافت.



همچنین آن‌ها رابطه ۱۹ را برای محاسبه شدت ضربه در حالت گذار از رژیم شب پراکنده به رژیم امولسیون پیشنهاد کرد و مقادیر  $K_1$  و  $K_2$  در رابطه ۱۸ را به ترتیب برابر با  $2.84 \times 10^{-5}$  و  $1.59 \times 10^{-6}$  گزارش دادند.

$$(af)_m = 1.05 \times 10^{-7} \left( \frac{\sigma af}{\mu_d} \right)^{1/4} \quad (19)$$

مقدار متوسط مطلق خطای نسبی ضربی کلی حجمی انتقال جرم فاز پیوسته بین نتایج آزمایشگاهی پژوهش حاضر و مقادیر پیش‌بینی شده با استفاده از رابطه ۱۸ برابر با  $32.74\%$  به دست آمد. بنابراین می‌توان گفت که رابطه ارایه شده برای پیش‌بینی ضربی کلی حجمی انتقال جرم فاز پیوسته در سیستم استخراج واکنشی اورانیم از محلول فروشوبی دقت قابل قبولی ندارد.

امانی و همکارانش [۱۳] برای تعیین ضربی کلی حجمی انتقال جرم در ستون ضربه‌ای افقی نوع سینی دار برای استخراج اورانیم با استخراج‌کننده تری‌اکتیل آمین رابطه تجربی زیر را پیشنهاد کردند:

$$\frac{\mu_c k_{oc} a}{\rho_c (af)^2} = 2.3 \times 10^{-5} \left( \frac{af}{U_c} \right)^{-0.788} \left( \frac{af}{U_d} \right)^{-0.544} \left( \frac{\sigma}{af \mu_c} \right)^{0.545} \quad (20)$$

مقدار متوسط مطلق خطای نسبی ضربی کلی حجمی انتقال جرم فاز پیوسته بین نتایج آزمایشگاهی پژوهش حاضر و مقادیر پیش‌بینی شده با استفاده از رابطه ۲۱، برابر با  $70.05\%$  به دست آمد. این مقدار خطا نشان می‌دهد که رابطه ارایه شده برای پیش‌بینی ضربی کلی حجمی انتقال جرم فاز پیوسته در سیستم مورد بررسی از دقت قابل قبولی برخوردار نیست.

۴.۲.۴ ارایه رابطه تجربی جدید برای پیش‌بینی ضربی انتقال جرم فاز پیوسته با استفاده از مدل پراکنده محوری با توجه به بالا بودن مقدار متوسط مطلق خطای نسبی داده‌های پژوهش حاضر با نتایج حاصل از روابط ارایه شده در مطالعات گذشته، برای پیش‌بینی ضربی کلی حجمی انتقال جرم فاز پیوسته، رابطه تجربی جدیدی به روش آنالیز ابعادی پیشنهاد شد:

$$\frac{(\sigma k_{oc} a)}{(af^2 \rho_c)} = 4.85 \times 10^{-7} \left( \frac{U_c}{af} \right)^{0.95} \left( \frac{U_d}{af} \right)^{0.788} \left( \frac{af \mu_c}{\sigma} \right)^{-0.544} \left( \frac{\sigma a}{af^2 \rho_c} \right)^{-0.185} \quad (21)$$

نتایج نشان می‌دهد که رابطه ارایه شده از دقت کافی برای پیش‌بینی ضربی کلی حجمی انتقال جرم فاز پیوسته برخوردار بوده و متوسط مطلق خطای نسبی برای استخراج واکنشی اورانیم از محلول فروشوبی بندرعباس با استخراج‌کننده آلامین در ستون ضربه‌ای افقی برابر با  $8.08\%$  است.

۴.۵ بررسی ضرایب پراکنده محوری فازها در این بخش تأثیر پارامترهای عملیاتی ستون بر ضرایب پراکنده محوری فاز پیوسته ( $E_c$ ) و فاز پراکنده ( $E_d$ )، بررسی شد.

از سوی دیگر، شکل ۷ تأثیر دبی حجمی فاز پراکنده بر ضربی کلی حجمی انتقال جرم فاز پیوسته را نشان می‌دهد. معمولاً با افزایش سرعت فاز پراکنده، بهم‌پیوستگی قطرات و نیروهای دراگ بین توده فاز و قطرات فاز پراکنده بیشتر شده و در نتیجه موجودی فاز پراکنده و قطر میانگین قطرات افزایش می‌یابد. هم‌چنین مشاهده شد که اثر افزایش موجودی فاز پراکنده بر مساحت سطح مشترک دو فاز بیش از اثر اندازه قطره بوده و در نتیجه مساحت سطح مشترک و نیروی محركه انتقال جرم با افزایش سرعت فاز پراکنده افزایش می‌یابد. بنابراین می‌توان گفت که با افزایش سرعت فاز پراکنده، افزایش در مقدار ضربی کلی حجمی انتقال جرم فاز پیوسته مشاهده می‌شود.

دبی حجمی انتقال جرم فاز پیوسته مشاهده می‌شود.

ضریب کلی حجمی انتقال جرم بیشتر از دبی حجمی فاز

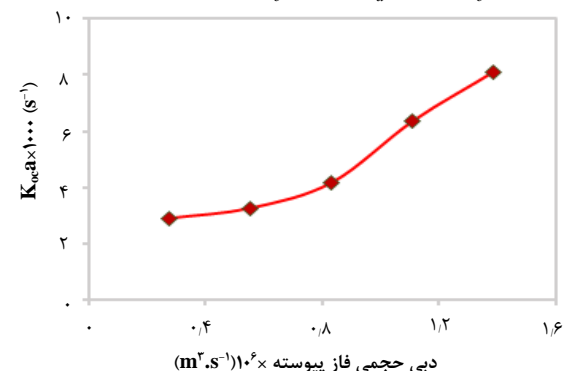
پیوسته است.

با توجه به مطالعات گذشته، مؤثرترین پارامترهای عملیاتی در عملکرد انتقال جرم ستون استخراج ضربه‌ای عبارتند از شدت ضربه و دبی حجمی (سرعت) فاز پراکنده [۳۱، ۳۰]. اگرچه در اغلب مطالعات نشان داده است که فاکتور شدت ضربه تأثیر بالاتری دارد، اما در پژوهش حاضر اثر دبی حجمی فاز پراکنده بر ضربی کلی حجمی انتقال جرم بیشتر است. این امر می‌تواند به دلیل تغییرات معکوس موجودی فاز پراکنده با افزایش توان ورودی در ستون ضربه‌ای افقی نوع سینی دار در مقایسه با سایر استخراج‌کننده‌ها باشد.

۴.۲.۴ مقایسه روابط موجود در محاسبه ضربی انتقال جرم با استفاده از مدل پراکنده محوری با نتایج پژوهش حاضر پناهی‌نیا و همکارانش [۱۲] رابطه تجربی ۱۸ را برای پیش‌بینی ضربی کلی حجمی انتقال جرم در ستون ضربه‌ای افقی نوع سینی دار برای سیستم بدون واکنش شیمیایی و انتقال جرم از فاز پیوسته به پراکنده پیشنهاد کردند.

$$\frac{\mu_c k_{oc} a}{\rho_c (af)^2} = K_1 \exp(K_2 |af - af_m|) \quad (18)$$

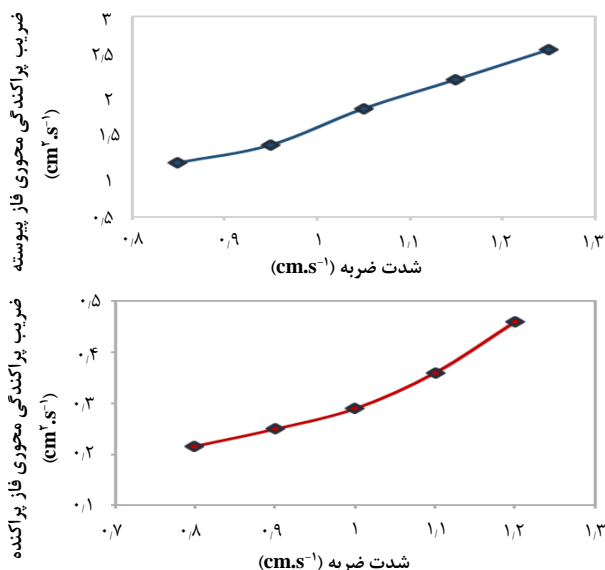
$$\left( \frac{\mu_c}{\mu_d} \right)^{0.789} \left( \frac{af \mu_c}{\sigma} \right)^{-0.187} \left( \frac{af}{U_c} \right)^{-0.749} \left( \frac{af}{U_d} \right)^{-0.468} \left( \frac{\Delta \rho}{\rho_c} \right)^{-0.457}$$



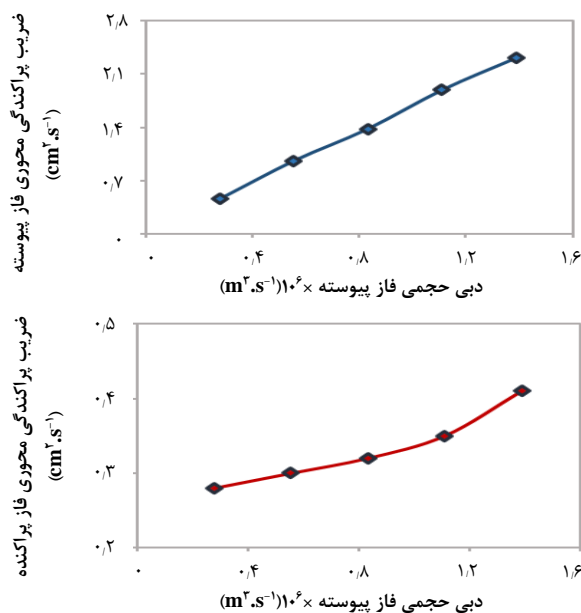
شکل ۷. اثر تغییرات دبی حجمی فاز پراکنده بر ضربی کلی حجمی انتقال جرم فاز پیوسته برای استخراج اورانیم (af=1 cm/s, Qc=3 l/h).



$$\frac{E_c \rho_c af}{\sigma} = K_1 \exp(K_1 |af - af_m|) \\ \left(\frac{\mu_c}{\mu_d}\right)^{0.885} \left(\frac{af \mu_c}{\sigma}\right)^{0.133} \left(\frac{af}{U_c}\right)^{-0.789} \left(\frac{af}{U_d}\right)^{0.785} \left(\frac{\Delta \rho}{\rho_c}\right)^{-0.477} \quad (22)$$



شکل ۸. اثر تغییرات شدت ضربه بر ضرایب پراکندگی محوری فازها برای استخراج اورانیم در ستون ضربه‌ای افقی ( $Qc=Qd=3 \text{ l/h}$ ).



شکل ۹. اثر تغییرات دبی حجمی فاز پیوسته بر ضرایب پراکندگی محوری فازها برای استخراج اورانیم در ستون ضربه‌ای افقی ( $Qd=3 \text{ l/h}$ ,  $af=1 \text{ cm/s}$ ).

۱۰.۳.۴ بروزی تأثیر شدت ضربه بر ضرایب پراکندگی محوری فازها تاثیر تغییرات شدت ضربه بر ضرایب پراکندگی محوری فازها در شکل ۸ نشان داده شده است. با افزایش شدت ضربه، ضریب پراکندگی محوری فاز پیوسته و پراکنده افزایش می‌یابد. زیرا با افزایش شدت ضربه میزان آشفتگی سیستم بیشتر شده و در نتیجه تراکم قطرات و ایجاد گردابه در فاز پیوسته ستون افزایش می‌یابد [۲۲].

علاوه بر این، از مقایسه مقادیر ضرایب پراکندگی محوری فازها می‌توان نتیجه گرفت که ضریب پراکندگی محوری فاز پیوسته به طور قابل توجهی بیشتر از ضریب پراکندگی محوری فاز پراکنده است. این پدیده در پژوهش‌های قبلی با استفاده از ستون‌های استخراج مختلف نیز تأیید شده است [۱۲, ۳۵-۳۳].

۲۰.۳.۴ بروزی تأثیر دبی فاز پیوسته و پراکنده بر ضرایب پراکندگی محوری فازها با مشاهده اثر تغییرات دبی حجمی فاز پیوسته بر روی ضرایب پراکندگی محوری فازها در شکل ۹ می‌توان گفت که با افزایش دبی حجمی فاز پیوسته، میزان پراکندگی محوری فازها افزایش می‌یابد، در حالی که افزایش در میزان پراکندگی محوری فاز پیوسته نسبت به فاز پراکنده قابل ملاحظه‌تر است. زیرا با افزایش سرعت فاز پیوسته، قطرات یکواخته‌تری در سیستم تشکیل می‌شوند و برخورد قطرات با سطح داخلی ستون بیشتر شده و این امر منجر به افزایش میزان پراکندگی محوری فازها در طول ستون می‌گردد.

تأثیر دبی حجمی فاز پراکنده بر ضرایب پراکندگی محوری فازها در شکل ۱۰ نشان داده شده است. از این نمودارها مشاهده می‌شود که افزایش در مقدار دبی حجمی فاز پراکنده منجر به افزایش مقدار اختلاط محوری فاز پراکنده می‌شود، در حالی که تأثیر تقریباً ناچیزی روی مقدار پراکندگی محوری فاز پیوسته دارد. تأثیر ناچیز دبی حجمی فاز پراکنده بر پارامتر  $E_c$  در مطالعات گذشته با ستون‌های استخراج مختلف نیز تأیید شده است [۱۳, ۱۲, ۳۲, ۳۳, ۲۲].

در اغلب پژوهش‌های فاز پیوسته مورد بررسی قرار می‌گیرد و از پراکندگی محوری فاز پراکنده به علت ناچیز بودن مقدار این پارامتر صرف نظر می‌شود. با این حال، تعداد کمی از پژوهش‌گران پراکندگی محوری فاز پراکنده را مورد مطالعه و بررسی قرار داده‌اند [۳۷, ۳۲].

۳۰.۴ مقایسه روابط موجود در محاسبه ضرایب پراکندگی محوری فازها با نتایج پژوهش حاضر پناهی‌نیا و همکارانش [۱۲] رابطه تجربی ۲۲ را برای پیش‌بینی ضریب پراکندگی محوری فاز پیوسته در ستون ضربه‌ای افقی نوع سینی دار برای سیستم بدون واکنش شیمیایی و انتقال جرم از فاز پیوسته به پراکنده پیشنهاد کردند.



بندرعباس با استخراج کننده آلامین ۳۳۶ از دقت قابل قبولی برخوردار نیستند.

#### ۴.۰.۴ ارابه رابطه تجربی جدید برای پیش‌بینی ضرایب پراکندگی محوری فازها

به منظور پیش‌بینی ضرایب پراکندگی محوری فازهای پیوسته و پراکنده برای استخراج اورانیم از محلول فروشوبی بندرعباس با استخراج کننده آلامین ۳۳۶ در ستون ضربه‌ای افقی نوع سینی دار، رابطه‌های تجربی به روش آنالیز ابعادی به شرح زیر پیشنهاد شد:

الف) ضریب پراکندگی محوری فاز پیوسته ( $E_c$ ):

$$\frac{(af \rho_c U_c)}{\sigma} = 5.12 \times 10^{-7} \left( \frac{U_c}{af} \right)^{0.94} \left( \frac{U_d}{af} \right)^{0.14} \left( \frac{af \mu_c}{\sigma} \right)^{0.74} \left( \frac{\sigma a}{af \rho_c} \right)^{-0.81} \quad (25)$$

ب) ضریب پراکندگی محوری فاز پراکنده ( $E_d$ ):

$$\frac{(af \rho_d E_d)}{\sigma} = 2.5 \times 10^{-7} \left( \frac{U_c}{af} \right)^{0.94} \left( \frac{U_d}{af} \right)^{0.14} \left( \frac{af \mu_d}{\sigma} \right)^{0.74} \left( \frac{\sigma a}{af \rho_d} \right)^{-0.81} \quad (26)$$

نتایج نشان می‌دهد متوسط مطلق خطای نسبی برای ضریب پراکندگی محوری فاز پیوسته در استخراج واکنشی اورانیم از محلول فروشوبی بندرعباس با استخراج کننده آلامین ۳۳۶ در ستون ضربه‌ای افقی برابر با ۷/۴۸٪ است.

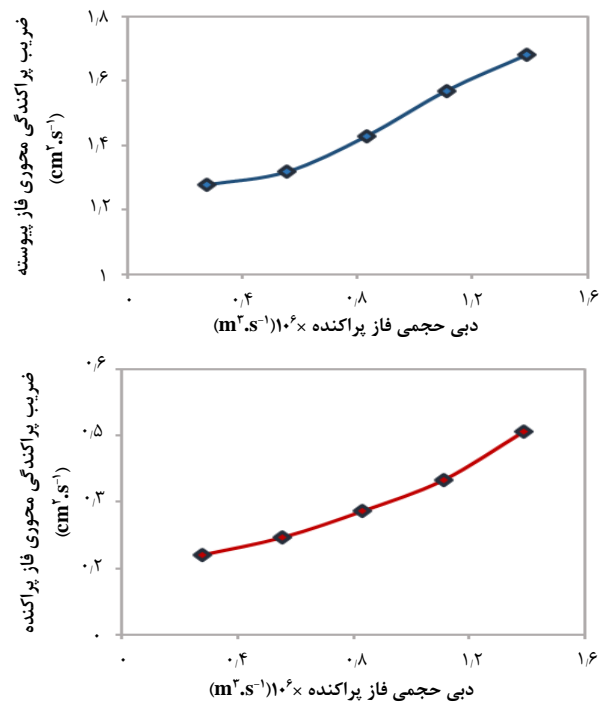
همچنین برای ضریب پراکندگی محوری فاز پراکنده نیز مقایسه‌ای بین نتایج آزمایشگاهی ضریب پراکندگی محوری فاز پراکنده و مقادیر به دست آمده از رابطه جدید (۲۶) انجام شد. متوسط مطلق خطای نسبی برای این پارامتر در استخراج واکنشی اورانیم از محلول فروشوبی بندرعباس با استخراج کننده آلامین ۳۳۶ در ستون ضربه‌ای افقی برابر با ۵/۴۸٪ به دست آمد.

#### ۵. نتیجه‌گیری

آزمایش‌های استخراج اورانیم از محلول فروشوبی بندرعباس با استخراج کننده آلامین ۳۳۶ در ستون استخراج ضربه‌ای افقی نوع سینی دار انجام شد و از مدل اختلاط محوری به منظور تعیین پارامترهای انتقال جرم و مدل سازی این سیستم استفاده شد.

نتایج آزمایش‌ها و مدل سازی نشان داد که پارامترهای انتقال جرم ستون شدیداً وابسته به شدت ضربه و میزان آشفتگی سیستم می‌باشند. همچنین با بررسی اثر دبی حجمی فازها بر پارامترهای انتقال جرم، مشاهده شده که پارامترهای انتقال جرم با افزایش این فاکتور، افزایش می‌یابند.

روابط تجربی جدید برای پیش‌بینی پارامترهای انتقال جرم برای استخراج اورانیم از محلول فروشوبی سولفاته با استخراج کننده آلامین ۳۳۶ در ستون ضربه‌ای افقی نوع سینی دار به صورت تابعی از اعداد بدون بعد ارایه شد. با مقایسه نتایج تجربی آزمایش‌ها و مقادیر به دست آمده از روابط تجربی جدید، مشاهده شد مدل‌های ارایه شده قادر به پیش‌بینی نتایج آزمایشگاهی با متوسط خطای قابل قبول می‌باشند.



شکل ۱۰. اثر تغییرات دبی حجمی فاز پراکنده بر ضرایب پراکندگی محوری فازها برای استخراج اورانیم در ستون ضربه‌ای افقی  $Q_c = 3 \text{ l/h}$  و  $(af = 1 \text{ cm/s})$ .

همچنین رابطه ۱۹ برای محاسبه شدت ضربه در حالت گذار از رژیم شبه‌پراکنده به رژیم امولسیون پیشنهاد شد و مقادیر  $K_1$  و  $K_2$  در رابطه ۲۳ به ترتیب برابر با  $2.17 \times 10^{-5}$  و  $230.57$  گزارش شدند. مقدار متوسط مطلق خطای نسبی ضریب پراکندگی محوری فاز پیوسته بین نتایج آزمایشگاهی پژوهش حاضر و مقادیر پیش‌بینی شده با استفاده از رابطه ۲۲، برابر با ۰/۲۰۸ به دست آمد.

امانی و همکارانش [۱۳] برای تعیین ضریب پراکندگی محوری فاز پیوسته و پراکنده در ستون ضربه‌ای افقی نوع سینی دار برای استخراج اورانیم با استخراج کننده تری‌اکتیل آمین رابطه‌های تجربی زیر را پیشنهاد کردند:

$$\frac{E_c \rho_c U_c}{\sigma} = 1.562 \times 10^{-7} \left( \frac{af}{U_c} \right)^{-0.537} \left( \frac{af}{U_d} \right)^{-0.56} \left( \frac{\sigma}{af \mu_c} \right)^{-0.192} \quad (23)$$

$$\frac{E_d \rho_d U_d}{\sigma} = 51.697 \left( \frac{af}{U_c} \right)^{-0.29} \left( \frac{af}{U_d} \right)^{-0.774} \left( \frac{\sigma}{af \mu_c} \right)^{-0.556} \quad (24)$$

از مقایسه بین مقادیر پیش‌بینی شده ضریب پراکندگی محوری فاز پیوسته و پراکنده با نتایج آزمایشگاهی پژوهش حاضر، مقدار متوسط مطلق خطای نسبی برای ضریب پراکندگی محوری فاز پیوسته با استفاده از رابطه ۲۳، برابر با ۰/۴۲۹۷٪ و برای ضریب پراکندگی محوری فاز پراکنده با استفاده از رابطه ۲۴، برابر با ۰/۲۸۳٪ به دست آمد. مقادیر متوسط مطلق خطای نسبی نشان می‌دهد که این روابط برای پیش‌بینی ضرایب پراکندگی محوری فازها در سیستم استخراج اورانیم از محلول فروشوبی سولفاته

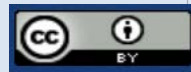


## مراجع

1. J. Kumar, et al, *A Brief Review on Solvent Extraction of Uranium from Acidic Solutions*, *Separation & Purification Reviews*, **40**, 77–125 (2011).
2. F. Habashi, *A textbook of hydrometallurgy: Metallurgy extractive Québec, Enr.*, (1993).
3. F. Khanramaki, et al, *Equilibrium and kinetics of uranium(VI) extraction from a sulfate leach liquor solution by Alamine 336 using single drop technique*, *Chemical Engineering Research and Design*, **125**, 181–189 (2017).
4. J.E. Quinn, D. Wilkins, K.H. Soldenhoff, *Solvent extraction of uranium from saline leach liquors using DEHPA/Alamine 336 mixed reagent*, *Hydrometallurgy*, **134**, 74–79 (2013).
5. G. Ramadevi, et al, *Solvent extraction of uranium from lean grade acidic sulfate leach liquor with alamine 336 reagent*, *J. Radioanal. Nucl. Chem.*, **294**, 13–18 (2012).
6. J.D. Thornton, *Science and Practice of Liquid-Liquid Extraction*, New York, USA: Oxford University Press, **2**, (1992).
7. T. Sato, *The back-extraction of uranyl nitrate from tributyl phosphate solution*, *Journal Inorganic Nuclear Chemistry*, **7**, 147–149 (1958).
8. C.V. Ellison, *Study of Half Pulse Column with a TBP System*, Oak Ridge National Laboratory (ORNL-912), (1951).
9. M. Khajenoori, et al, *Prediction of drop size distribution in a horizontal pulsed plate extraction column*, *Chemical Engineering and Processing*, **92**, 25–32 (2015).
10. M. Khajenoori, et al, *Slip and Characteristic Velocities in a Horizontal Pulsed-Plate Extraction Column*, *Chem. Eng. Technol.*, **38**, 1783–1792 (2015).
11. F. Panahinia, et al, *Experimental investigation concerning the effect of mass transfer direction on mean drop size and holdup in a horizontal pulsed plate extraction column*, *RSC Advances*, **7**, 8908–8921 (2017).
12. F. Panahinia, et al, *Modeling and simulation of a horizontal pulsed sieve-plate extraction column using axial dispersion model*, *Separation Science and Technology*, **52**, 73–81 (2017).
13. P. Amani, et al, *Mass transfer studies in a horizontal pulsed sieve-plate column for uranium extraction by tri-n-octylamine using axial dispersion model*, *Progress in Nuclear Energy*, **98**, 1–14 (2017).
14. L.D. Smoot, A.L. Babb, *Mass Transfer Studies in a Pulsed Extraction Column. Longitudinal Concentration Profiles*, *Ind. Eng. Chem. Fundam.*, **1**, 93–103 (1962).
15. A. Safari, *Axial mixing and mass transfer investigation in a pulsed packed liquid–liquid extraction column using plug flow and axial dispersion models*, *Chemical Engineering Research and Design*, **90**, 93–200 (2012).
16. A.E. Ferreira, et al, *Extraction of copper from acidic leach solution with Acorga M5640 using a pulsed sieve plate column*, *Hydrometallurgy*, **104**, 66–75 (2010).
17. S. Kagan, et al, *Longitudinal mixing and its effects on mass transfer in pulsed-screen extractors*, *Int. Chem. Eng.*, **13**, 217–225 (1973).
18. T. Miyauchi, H. Oya, *Longitudinal dispersion in pulsed perforated-plate columns*, *AIChE J.*, **11**, 395–406 (1965).
19. J.C. Godfrey, M.J. Slater, *Liquid-liquid extraction equipment*. Bradford: John Wiley & Sons Ltd, (1994).
20. W.J. Korchinsk, Q.M. Sheikh, *Forward Mixing Model: Application to Pulsed Plate Extraction Column Operation in the Emulsion Region*, *Chemical Engineering Communications*, **115**, 95–115 (1992).
21. X. Tang, *A dynamic interaction mass transfer model for simulating the mass transfer process in extraction columns*, *Computers and Chemical Engineering*, **30**, 978–988 (2006).
22. M.L.F. Gameiro, et al, *Copper extraction from ammoniacal medium in a pulsed sieve-plate column with LIX 84-I*, *Journal of Hazardous Materials*, **183**, 165–175 (2010).
23. D. Bonam, et al, *Liquid-liquid extraction in a rotating-spray column: removal of Cr(VI) by Aliquat 336*, *Industrial & Engineering Chemistry Research*, **48**, 7687–7693 (2009).
24. F. Khanramaki, et al, *Investigations on the complete removal of iron(III) interference on the uranium(VI) extraction from sulfate leach liquor using Alamine 336 in kerosene*, *Radiochim. Acta*, **106**, (2018).
25. A.J. Melnyk, *Hydrodynamic Characteristics of a Horizontal Pulsed Solvent Extraction Column*, Vol. McMaster University Hamilton Ontario, Canada: A Thesis Submitted to the School of Graduate Studies in Partial Fulfillment of the Requirements for the Degree Doctor, (1989).
26. P.V. Danckwerts, *Chemical Engineering Science Genie Chimique*, Department of chemical Engineering, England, (1953).
27. J.C. Goebel, K. Booij, J.M.H. Fortuin, *Axial Dispersion in Single Phase Flow In Pulsed Packed Columns*, *Chemical Engineering Science*, **41**, 3197–3203 (1986).
28. A.N.S. Mak, *Axial Dispersion In Single Phase Flow In A Pulsed Packed Column Containing Structured Packing*, *Chemical Engineering and Science*, **46**, 819–826 (1991).
29. C. Jiao, S. Ma, Q. Song, *Mass transfer characteristics in a standard pulsed sieve-plate extraction column*, *Energy Procedia*, **39**, 348–357 (2013).
30. R.L. Yadav, A.W. Patwardhan, *Design aspects of pulsed sieve plate columns*, *Chemical Engineering Journal*, **138**, 389–415 (2008).
31. A. Kumar, S. Hartland, *Correlations for prediction of mass transfer coefficients in single drop systems and liquid-liquid extraction columns*, *Chemical Engineering Research and Design*, **77**, 372–384 (1999).
32. G. Srinikethan, A. Prabhakar, Y.B.G. Varma, *Axial dispersion in plate-pulsed columns*, *Bioprocess Eng.*, **2**, 161–168 (1987).
33. A. Kumar, S. Hartland, *Prediction of dispersed phase hold-up in pulsed perforated-plate extraction columns*, *Chem. Eng. Process. Process Intensif.*, **23**, 41–59 (1988).
34. X. Tang, G. Luo, J. Wang, *A dynamic forward mixing model for evaluating the mass transfer performances of an extraction column*, *Chem. Eng. Sci.*, **59**, 4457–4466 (2004).
35. M. Asadollahzadeh, et al, *Use of axial dispersion model for determination of Sherwood number and mass transfer coefficients in a perforated rotating disc contactor*, *Chin. J. Chem. Eng.*, **25**, 53–61 (2017).
36. G.A. Sehmel, A.L. Babb, *Longitudinal mixing studies in a pulsed extraction column*, *Ind. Eng. Chem. Process Des. Dev.*, **3**, 210–214 (1964).
37. G.U. Din, et al, *Axial dispersion, holdup and slip velocity of dispersed phase in a pulsed sieve plate extraction column by radiotracer residence time distribution analysis*, *Appl. Radiat. Isot.*, **66**, 1818–1824 (2008).

## COPYRIGHTS

©2021 The author(s). This is an open access article distributed under the terms of the Creative Commons Attribution (CC BY 4.0), which permits unrestricted use, distribution, and reproduction in any medium, as long as the original authors and source are cited. No permission is required from the authors or the publishers.



## استناد به این مقاله

فرشته خان‌رمکی، رضوان ترکمان، امیرسعید شیرانی، سید جابر صفردی (۱۳۹۹)، بررسی عملکرد انتقال جرم ستون ضربهای افقی در استخراج اورانیم از محلول فروشوبی سولفاتهای بندرباس توسط آلامین ۳۳۶ با استفاده از مدل پراکندگی محوری، *۱۳۷-۱۲۸، ۹۴*

DOI: 10.24200/nst.2020.1159  
Url: [https://jonsat.nstri.ir/article\\_1159.html](https://jonsat.nstri.ir/article_1159.html)

